

## СТАЦИОНАРНЫЙ СФЕРИЧЕСКИЙ ВИХРЬ В ТОКОВОМ КАНАЛЕ

В.Ц. Гурович, Л.С. Соловьев,  
Н.В. Торохова

В экспериментах на установках типа Z-пинча зарегистрировано характерное возникновение локализованных областей горячей плазмы, являющихся источниками жестких излучений [1-3]. Соответствующие "горячие точки", по-видимому, образуются в результате развития плазменной неустойчивости. В настоящей работе в рамках двухжидкостной электромагнитной газодинамики построено солитонное стационарное решение, представляющее собой сферический вихрь внутри цилиндрического токового канала. При этом отношение температур плазмы внутри и вне вихря равно обратному отношению концентраций  $T_i / T_e = n_e / n_i$ .

Стационарные аксиально-симметричные течения поперек азимутального магнитного поля  $B_\varphi$  при  $n_\pm = const$  в сферической системе координат  $r, \theta, \varphi$  в нерелятивистской электромагнитной газодинамике описываются уравнениями [4-6]:

$$\frac{\partial^2 \psi}{\partial r^2} + \frac{\sin \theta}{r^2} \frac{\partial}{\partial \theta} \frac{1}{\sin \theta} \frac{\partial \psi}{\partial \theta} + \kappa(\psi_+ - \psi_-) = U'(\psi) r^2 \sin^2 \theta, \quad \kappa \equiv \frac{4\pi e^2 n}{mc^2},$$

$$\frac{1}{r^2} \frac{\partial}{\partial r} r^2 \frac{\partial \phi}{\partial r} + \frac{1}{r^2 \sin \theta} \frac{\partial}{\partial \theta} \sin \theta \frac{\partial \phi}{\partial \theta} = \frac{m \kappa^2}{e} \left( \frac{U_+^2 - U_-^2}{2} - \frac{c^2 \delta n}{n} \right), \quad E = -\nabla \phi, \quad (1)$$

$$\frac{P}{m n} + \frac{U^2}{2} \pm \frac{e}{m} \phi = \frac{U(\psi)}{n^2}, \quad B_\varphi = \frac{4\pi e}{c} \frac{\psi_+ - \psi_-}{r \sin \theta}, \quad n U_r = \frac{\partial \psi / \partial \theta}{r^2 \sin \theta}, \quad n U_\theta = -\frac{\partial \psi / \partial r}{r \sin \theta}.$$

Здесь  $\psi = \psi_\pm$  - функции потоков ионной и электронной жидкостей,  $m = m_\pm$  - массы ионов и электронов, заряды которых  $e_+ = -e_- = e$ . Концентрации в собственных системах координат  $n_\pm = n \pm \delta n$ , где  $\delta n / n \lesssim |U_+^2 - U_-^2| / 2c^2$ .

В случае линейных по  $\psi$  интегралов Бернулли  $U'(\psi) = const$ , система (1) имеет точное решение, описывающее сферический вихрь внутри цилиндрического однородного тока:

$$\psi = -\frac{n V R}{f'(R)} f(r) \sin^2 \theta, \quad f(r) = r^2 R^2 \frac{f_0(r)}{f_0(R)}, \quad V = v_\theta(R, \pi/2). \quad (2)$$

Функция  $f_0(r)$  удовлетворяет уравнению  $f_0'' - (k^2 + 2/R^2) f_0 = 0$ , где  $k^2 = \kappa_+^2 + \kappa_-^2$  и для областей внутри и вне сферы  $r = R$  имеет вид

$$f_0^i(x) = chkr - \frac{shkr}{kr}, \quad f_0^e(x) = \left(1 + \frac{1}{kr}\right) e^{-kr}. \quad (3)$$

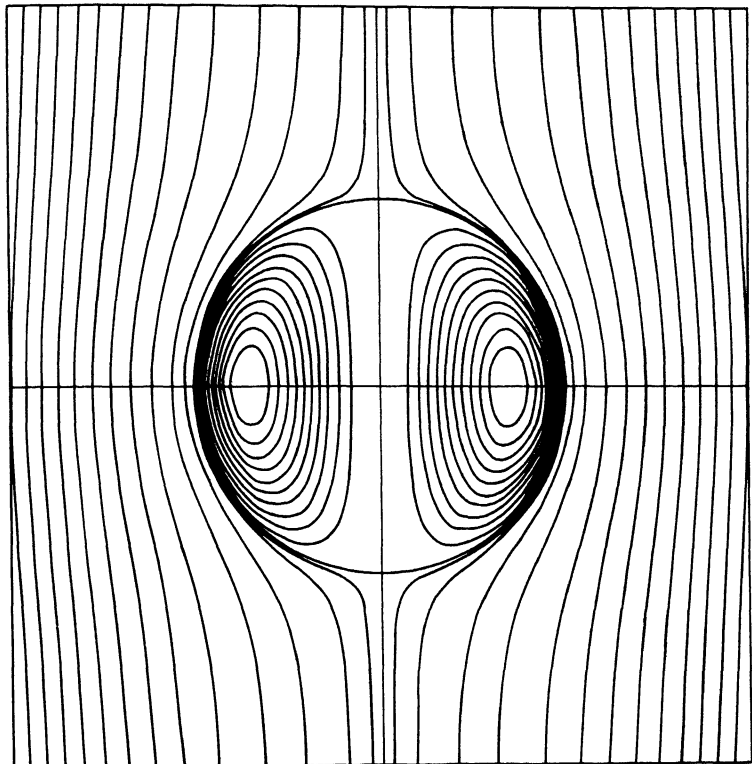


Рис. 1.  $\psi = const'$ ,  $kr = 10$ .

Решение (2) существует, когда  $V_+ / V_- = -m_- / m_+$ , т.е. ионная и электронная жидкости движутся навстречу друг другу со скоростями, обратно пропорциональными отношению масс ионов и электронов как во внутренней  $r < R$ , так и во внешней  $r > R$  областях. При  $r \rightarrow \infty$  функция  $f_0(r)$  экспоненциально убывает, и решение (2) описывает однородные потоки  $V_{\pm} = V_{\pm}^{\pm} e_{\pm} = const$ .

При  $kr \ll 1$  функции потоков (2) переходят в

$$\psi_i = \frac{nV}{2} \left( r^2 - \frac{r^4}{R^2} \right) \sin^2 \theta, \quad \psi_e = -\frac{nV}{3} \left( \frac{R^3}{r} - r^2 \right) \sin^2 \theta. \quad (2a)$$

Это известно в газодинамике решение [7] для вихря Хилла в потоке несжимаемой жидкости, движущейся (при  $r \rightarrow \infty$ ) со скоростью  $V_z = -2V_e / 3$ . Аналогичное решение получается также и в рамках классической одножидкостной МГД.

Магнитное поле выражается формулой

$$B_{\varphi} = \frac{4\pi enR}{cf'(R)} (V_- - V_+) \frac{f(r)}{r} \sin \theta \quad (4)$$

и обращается в нуль при  $r = 0$  и  $r = R$ .

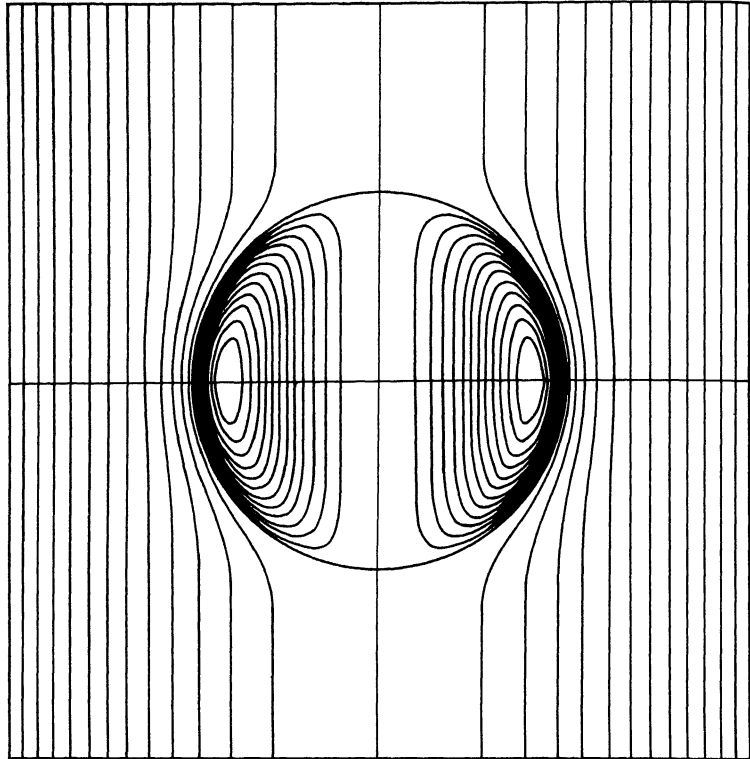


Рис. 2.  $\psi = const$  ,  $kr = 10$ .

Из уравнений Бернулли для линий потоков, лежащих на поверхности сферы  $r=R$ , вытекает, что при различных концентрациях амплитуды квадратов скоростей обратно пропорциональны концентрациям  $V_i^2 / V_e^2 = n / n_i$ . В этом случае плотность тока также имеет разрыв на поверхности сферы  $r=R$ :  $j_e / j_i = \sqrt{n_e / n_i}$ .

При известных  $\psi_{\pm}$  давление и электрическое поле определяются из уравнений Бернулли и Пуассона, которые в рассматриваемом случае имеют вид

$$\frac{p}{mn} \pm \frac{e\phi}{m} = U_0 - \frac{V^2 R^2}{f^{12}(R)} \left[ \left( k^2 f + \frac{f^{12}}{2r^2} \right) \sin^2 \theta + \frac{2f^2}{r^4} \cos^2 \theta \right], \quad (5)$$

$$\Delta \frac{e\phi}{m} = \alpha^2 R^2 \left[ \frac{V_-^2 - V_+^2}{f^{12}(R)} \left( \frac{f^{12}}{2r^2} \sin^2 \theta + \frac{2f^2}{r^4} \cos^2 \theta \right) - \frac{c^2 \delta n}{R^2 n} \right]. \quad (6)$$

Ограничиваясь областью  $kr \ll 1$  и определяя из (6) потенциал электрического поля  $\phi(r, \theta)$  удовлетворяющий условиям конечности при  $r=0$ , непрерывности  $\phi$  и  $\nabla \phi$  при  $r=R$ , и стремящийся при  $r/R \gg 1$  к  $\phi = A \sin^2 \theta$ , находим

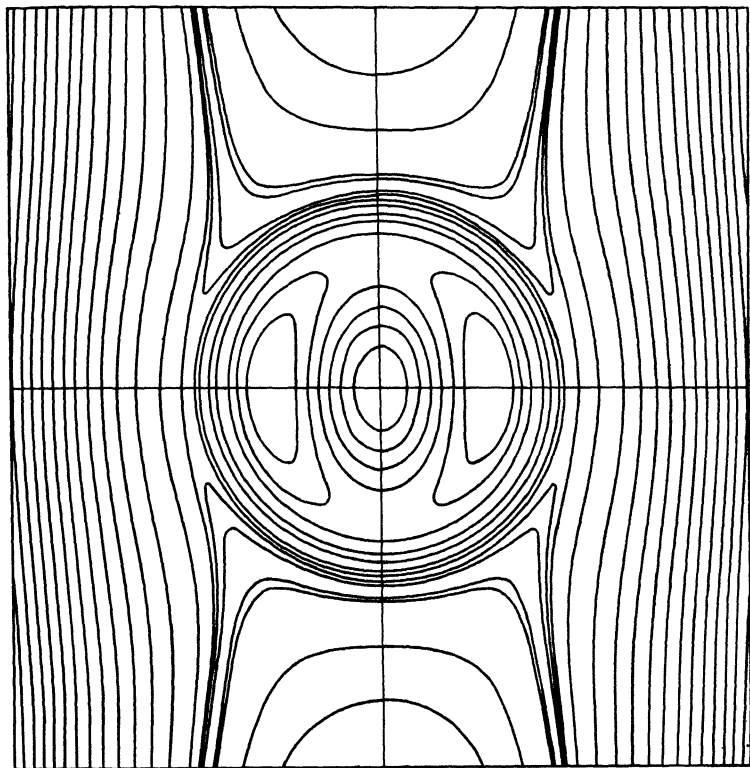


Рис. 3.  $\phi = \text{const}$ ,  $kr \ll 1$ .

$$\frac{e\phi_i}{m} = \frac{\alpha^2 R^2}{12} (V_-^2 - V_+^2) \left[ \frac{r^2}{3R^2} - \frac{3r^4}{7R^4} + \frac{2r^6}{21R^6} + \left( \frac{5r^2}{14R^2} - \frac{6r^4}{7R^6} + \frac{r^6}{2R^6} \right) \sin^2 \theta \right], \quad (7)$$

$$\frac{e\phi_e}{m} = \frac{\alpha^2 R^2}{12} (V_-^2 - V_+^2) \left[ -1 + \frac{10R}{7r} + \frac{R^4}{3r^4} - \frac{16R^3}{21r^3} + \left( \frac{11r^2}{21R^2} + \frac{8R^3}{7r^3} - \frac{4R}{3r} - \frac{R^4}{3r^4} \right) \sin^2 \theta \right].$$

При этом однозначно определяются параметры  $\delta n_i$  и  $\delta n_e$ , влияющие на потенциалы  $\phi_i$  и  $\phi_e$  и давления  $\rho_{\pm}^i$  и  $\rho_{\pm}^e$ . Невозмущенная конфигурация вдали от вихря ( $r/R \gg 1$ ) является равновесной цилиндрической конфигурацией с отличающимися температурами ионов и электронов, в которой давления, электрическое и магнитное поля выражаются формулами

$$\rho_{\pm} = \frac{\pi e^2 n^2 (V_0^+ - V_0^-)^2}{2c^2} \left( 1 \pm \frac{3}{14} \frac{m_+ - m_-}{m_+ + m_-} \right) (R_{\Sigma}^2 - r^2 \sin^2 \theta), \quad (8)$$

$$\phi = \frac{11\pi e n}{28c^2} (V_0^- - V_0^+) r^2 \sin^2 \theta, \quad B_{\phi} = \frac{2\pi e n}{c} (V_0^+ - V_0^-) r \sin \theta,$$

где  $V_0^\pm = -2V_{\pm}/3$  — скорости ионного и электронного потоков, направленных вдоль оси  $z$ . Выражения для  $\rho_{\pm}$  содержат массы частиц  $m_{\pm}$  и при их выводе использовано полученное ранее соотношение  $m_+V_+ + m_-V_- = 0$ .

На рис. 1, 2 приведены линии тока  $\psi = \text{const}$  для  $kR = 10$  и  $kr \ll 1$ , а на рис. 3 построены эквипотенциальные поверхности  $\phi = \text{const}$  при  $kr \ll 1$ .

Как видно из выражений (7), в окрестности вихря имеется продольное электрическое поле  $E_z$  на оси  $z$ , где магнитное поле  $B_{\phi} = 0$ . При  $z = \pm R$  электрическое поле равно

$$E_z = \pm \frac{m_+ - m_-}{m_+ + m_-} \frac{5J_z^2 R}{14\pi e c^2 n R^4}, \quad (9)$$

где  $J_z$  — полный ток, протекающий внутри цилиндра с радиусом  $R_z$ . В случае достаточно больших плотностей тока, осевое электрическое поле может достигать значительных величин. Если  $E$  выражено в вольтах/см, а  $J$  — в амперах, то, согласно (9), получим

$$E \approx \frac{m_+ - m_-}{m_+ + m_-} \frac{10^9 J^2 R}{n R^4}.$$

Таким образом, в рамках двухжидкостной нерелятивистской электромагнитной газодинамики, показана возможность существования уединенного сферического вихря (солитона), расположенного на оси цилиндрического тока. В полученном решении скорости ионного и электронного газов связаны соотношением  $m_+v_+ + m_-v_- = 0$ , а скорости и температуры внутри и вне вихря  $r \leq R$  определяются отношением концентраций:  $V_i^2/V_e^2 = T_i/T_e = n_e/n_i$ . Невозможные скорости, очевидно, зависят от полного тока, текущего внутри цилиндра с радиусом  $R_z \gg R$ :  $J = 4\pi n_e(V_0^+ - V_0^-)R_z^2$ .

Внутреннее решение для эллипсоидального вихря в рамках классической одножидкостной МГД было получено в [8]. Релятивистская задача для холодной плазмы с покоящимися ионами рассматривалась в [9].

### Л и т е р а т у р а

- [1] Sethian J.D. and all. — Phys. Rev. Lett., 1987, v. 59, N 8, p. 892.
- [2] Haas C.R. and all. "Dynamics of microstructures". Proc. of 3 Intern. Workshop on Plasma Focus and z-pinch Research, 1983, p. 87–90.
- [3] Rager J.P. "The Plasma Focus" 81. 19/сс CNEN April. 1981.
- [4] Морозов А.И., Соловьев Л.С. Вопросы теории плазмы / Под ред. М.А. Леонтовича, вып. 8, Атомиздат, 1974.
- [5] Соловьев Л.С., Гурович В.Ц. — Физика плазмы, 1986, т. 12, в. 7, с. 845.

- [6] Гурович В.С., Соловьев Л.С. – ЖЭТФ, 1986, т. 91, в. 4(10), с. 1144.
- [7] Бэтчелор Дж. Введение в динамику жидкости. М.: Мир, 1973.
- [8] Морозов А.И., Шубин А.П. – Физика плазмы, 1983, т. 9, в. 3, с. 659.
- [9] Мовесьянц Ю.Б. – ЖЭТФ, т. 91, в. 2(8), с. 493.

Институт физики  
АН Киргизской ССР,  
Фрунзе

Поступило в Редакцию  
7 октября 1988 г.

Письма в ЖТФ, том 14, вып. 24 26 декабря 1988 г.

### СКАНИРУЮЩИЙ ТУННЕЛЬНЫЙ МИКРОСКОП ДЛЯ ИССЛЕДОВАНИЯ ПРОЦЕССОВ РОСТА ПЛЕНОК

Ю.А. Битюрин, Д.Г. Волгунов,  
А.А. Гудков, М.Г. Кузеванов,  
В.Л. Миронов, А.А. Петрухин

Сканирующая туннельная микроскопия – один из новых методов анализа поверхности, применение которого возможно в самых различных областях. Одним из важных приложений туннельной микроскопии [1] является исследование процессов, связанных с ростом пленочных структур. В этом случае целесообразно размещение сканирующего туннельного микроскопа (СТМ) непосредственно в вакуумной камере ростовой установки, что позволило бы проводить различного рода анализ растущей пленки и обеспечить необходимую чистоту ее поверхности. В настоящем сообщении кратко описана конструкция СТМ, предусматривающая его совмещение с высоковакуумной напылительной установкой и проиллюстрированы его возможности по исследованию рельефа поверхности пленочных структур.

Микроскоп выполнен из материалов, допускающих его эксплуатацию в условиях высокого вакуума и предназначен для работы в установке УСУ ( $P_{\text{ост}} \sim 10^{-10}$  Торр), являющейся одновременной ростовой камерой лазерной напылительной установки [2]. Конструкцией СТМ предусмотрена возможность замены иглы и образца через шлюзовую камеру и приняты дополнительные меры, обеспечивающие уменьшение влияния температуры на работу СТМ, что особенно важно при его совмещении с напылительной установкой.

Основу конструкции составляют две коаксиальные пьезокерамические трубки различного диаметра, закрепленные на общем фланце, являющемся основанием прибора (рис. 1). На свободных торцах внутренней и внешней трубок закреплены соответственно игла и образец. Внутренняя трубка выполняет роль трехкоординатного пье-